

## *Parures et éléments singuliers de la zone 2 du tell de Taraschina*

Noëlle PROVENZANO

Sans être très abondants, les éléments de parures et les petits objets particuliers à vocation personnelle ou symbolique sont bien représentés sur le tell de Taraschina. La zone 2 en a livré 23 exemplaires, corpus il est vrai essentiellement composé de petites perles en terre cuite et en pierre ou matière dure d'origine animale dans une moindre mesure (fig. 1). Néanmoins, 3 petites coquilles de bivalves perforées (fig. 2, n<sup>os</sup> 1-3), un dentale (fig. 2, n<sup>o</sup> 4) et une petite statuette en os (fig. 3) ont également pu être recueillis (tabl. 1).

### 1. Les perles : éléments d'enfilage, de colliers ou de vêtements

Le tamisage systématique des sédiments (dont une maille de 0,5 et 1 mm) a permis de récupérer 18 petites perles dont les dimensions extrêmement réduites

(entre 2,6 et 6 mm, avec une majorité de diamètres autour de 3,4 mm) n'auraient sans doute pas permis de toutes les reconnaître en cours de fouille (fig. 2). En effet, si ces petites perles sont bien évidemment déjà connues dans les milieux sépulcraux de la période (Beldiman, Lazăr, Sztancs, 2008, etc.), on ne les identifie que très rarement en milieux d'habitat, probablement en raison, entre autres, des conditions de fouilles plus complexes pour ces minuscules éléments mêlés à un grand nombre d'autres vestiges, qu'ils soient mobiliers (céramiques, lithiques, ...) ou structuraux (torchis, fosses, etc.). Le corpus de perles récolté ici comporte 18 individus que l'on peut regrouper en deux grandes catégories : les perles circulaires (annulaires, discoïdales, sphériques) et les perles tubulaires. Les perles circulaires sont, de loin, les plus nombreuses (16 individus face à 2 perles tubulaires) et sont principalement de type discoïdal et en terre-cuite. Les deux petits éléments tubulaires

Groupe	Catégorie	Groupe typologique	Figure	Matière première	État		Nbr. total
					entier	frag.	
<b>Élément de parure</b>	parure	perle discoïdale	fig. 1 n <sup>os</sup> 1-10	terre cuite	10	/	10
		perle discoïdale	non figuré	terre cuite	/	2	2
		perle sphérique aplatie	non figuré	terre cuite	/	1	1
		perle sphérique aplatie	fig. 1 n <sup>o</sup> 9	terre cuite	1	/	1
		perle annulaire	fig. 1 n <sup>o</sup> 10	serpentine	/	1	1
		perle annulaire	fig. 1 n <sup>o</sup> 11	MDA	1	/	1
		perle tubulaire	fig. 1 n <sup>o</sup> 12	terre cuite	1	/	1
		perle tubulaire	fig. 1 n <sup>o</sup> 13	terre cuite	1	/	1
		<i>cardium</i> perforé	fig. 2 n <sup>os</sup> 1-2	coquille	2	/	2
		<i>Monodacna</i> perforé	fig. 2 n <sup>o</sup> 3	coquille	1	/	1
		dentale	fig. 2 n <sup>o</sup> 4	coquille foss.	1	/	1
<b>objet symbolique et/ou personnel</b>	statuette	statuette anthropomorphe	fig. 3	os	1	/	1
<b>Total</b>							<b>23</b>

**Tabl. 1**

Taraschina, Zone 2 : répartition des éléments de parure et petits objets particuliers.



**Figure 1**

Taraschina, Zone 2 : perles en terre cuite, pierre et matière dure d'origine animale.

Perles discoïdales en terre cuite : n°s 1-4 et n° 6 (Us 2045), n° 5 (Us 2015), n° 7 (Us 2050) et n° 8 (Us 2009) ; perle sphérique aplatie en terre cuite : n° 9 (Us 2045) ; perle annulaire en serpentinite : n° 10 (Log 29) ; perle annulaire en MDA : n° 11 (Us 2009) ; perles tubulaires en terre cuite : n° 12 (Us 2050), n° 13 (Log 27). Les perles sont représentées à l'échelle grandeur nature (exemplaires dotés d'un astérisque) et agrandies pour une meilleure lisibilité.

sont aussi en terre cuite. Il est à noter que les deux perles dont la matière première est différente (serpentine [fig. 1, n°10] et matière dure d'origine animale [fig. 1, n° 11]) sont du type annulaire aplati avec une perforation nettement plus élargie.

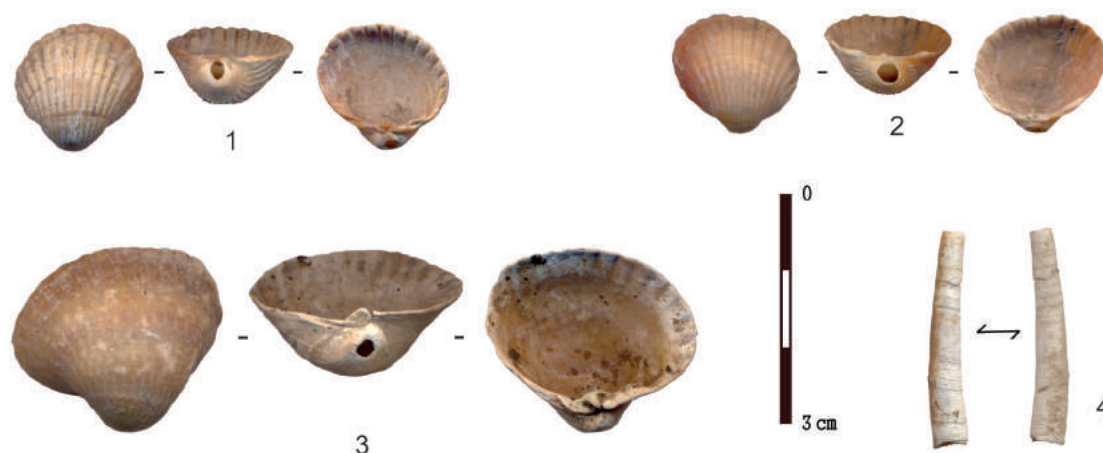
Morphométriquement homogènes, les perles circulaires font en moyenne 3,4 à 4 mm de diamètre pour une épaisseur moyenne de 2 mm et une perforation allant de 1 à 2,2 mm. Enfin, les lèvres des perforations (perforations toujours cylindriques) et les surfaces des perles ne montrent ni déformation ni stigmates pouvant être imputables à une usure de suspension ou autre portage. Néanmoins, on sait que nombre d'éléments de parures pouvaient également être simplement cousus sur les vêtements, mode de fixation qui ne génère que peu de traces de frottement (Bonnardin, 2009).

On ne dispose d'aucun déchet ou ébauche pour nous aider à identifier la chaîne opératoire de production de ces perles. Il est probable que la petite perle annulaire, très plate, en roche verte, ait été produite à partir de petites plaquettes extraites de la roche, plaquettes auxquelles on donne une préforme grossière, que l'on perfore ensuite et dont on achève la mise en forme par une abrasion intense des faces et de la tranche. Le produit ainsi obtenu est ensuite régularisé. C'est du moins un procédé bien connu dans divers sites néolithiques européens (Micheli, Ferrari, Mazzieri, 2015). Les perles en céramiques semblent, elles, être produites à partir d'un petit boudin cylindrique sur lequel sont découpées, les unes après les autres, de petites sections transversales.

Tout en restant prudent, car nous sommes dans une période et une zone géographique différente, il est intéressant de se rapprocher des petites perles en terre cuite et autres matériaux issues de l'habitat du Néolithique ancien bulgare d'Ilindentsi. Les auteurs font les mêmes réflexions que celles qui viennent à l'esprit pour le matériel de Taraschina sur la rareté des petites perles en terre cuite, sur leurs dimensions fort réduites et sur le manque d'éléments de comparaison. Ils ont même testé quelques reconstitutions des modes de fabrication. En effet, seuls quelques sites néolithiques et chalcolithiques hongrois, bulgares et roumains révèlent la présence de petites perles en terre cuite, mais les publications trop lacunaires, jamais exhaustives et peu descriptives, ne mentionnent pas toujours les tailles réelles des pièces et ne permettent pas, pour l'instant, de porter plus avant les analyses (Grębska-Kulow *et al.*, 2021).

## 2. Les coquilles

Quatre éléments sur coquille ont été recueillis (fig. 2) : un petit dentale lisse dont les deux extrémités ont été régularisées (fig. 2, n° 4) et trois valves de mollusques (deux de *cardium sp.* et une de *monodacna colorata*) dont l'umbo a été perforés (fig. 2, nos 1-3). De par leur ampleur et leur irrégularité, ceci associé à l'abrasion de la zone, ces perforations ne semblent pas être l'œuvre de petits gastéropodes perceurs, mais bien le fait d'une action anthropique. On peut donc tout à fait les inclure dans les éléments de parure, qu'ils soient destinés à être cousus sur des vêtements, portés en pendeloque ou appartenir à des



**Figure 2**

Taraschina, Zone 2 : parures sur coquilles.

1 : *Cardium sp.* perforé (Us 2037) ; 2 : *Cardium sp.* perforé (Us 2015) ; 3 : *Monodacna colorata* perforée (Us 2038 / L53) ; 4 : *dentalium* (Us 2005).

colliers. Diverses autres coquilles non perforées et fragments de *cardium* ont par ailleurs également été récupérés dans l'habitat (voir V. Radu, ce volume). De tout temps, les dentales ont été appréciés et plus ou moins intensivement récoltés et utilisés en éléments de parures et ce n'est donc pas un élément très diagnostique. Ces petits bivalves marins sont connus à l'état fossile. Bien qu'aucun dépôt marin n'ait été jusqu'à présent identifié dans la proximité immédiate du site de Taraschina, il faut toutefois noter qu'un affleurement fossile a récemment été attesté à une dizaine de kilomètres de l'habitat. Néanmoins, l'état de fraîcheur et la conformation des coquilles semblent plutôt indiquer qu'elles proviennent de la mer Noire et qu'elles seraient donc peut-être issues de récoltes épisodiques ou d'échanges effectués avec les groupes côtiers.

### 3. La statuette anthropomorphique ou « idole prismatique »

Enfin, la zone 2 a également restitué une petite statuette anthropomorphique (fig. 3) différente de celles trouvées dans la zone 1 (Carozza *et al.*, 2011) et la zone 3 (Carozza *et al.*, 2017). Il s'agit cette fois-ci d'un métacarpien central de suidé dont l'épiphyse distale a été légèrement resculptée afin de donner l'image d'une représentation anthropomorphique (fig. 3). Ces petits objets, également appelés

idoles prismatiques (Comşa, 1985 ; Zidarov, 2005 ; Mărgărit, Toderas, 2019) sont régulièrement présents dans le Chalcolithique roumain et bulgare, aussi bien en habitat qu'en milieu funéraire. De faible investissement technique, ces objets jouaient néanmoins leur rôle symbolique. On retrouve le rendu très schématique de ces statuettes sur certaines représentation anthropomorphes en terre cuite où le simple pincement de la matière suffit à exprimer le rendu escompté (Parnic, Lazăr, 2005).

### 4. Conclusion

La faiblesse numérique des éléments de parures recueillis dans la zone 2 du tell de Taraschina ne permet pas d'avancer de grandes hypothèses. Même si l'on peut noter que c'est l'ensemble 6 qui a livré le plus d'éléments, puis l'ensemble 2 dans une moindre mesure, on ne peut identifier de zone de rejet ou de perte préférentielle (tabl. 2). Les objets reconnus dans la zone 2 sont peu variés, mais ils viennent s'ajouter à ceux de la zone 1 et 3 et l'ensemble s'intègre parfaitement dans un horizon Gumelnița, sans que l'on puisse préciser le moment. Certes, certains éléments de parure ou d'objet particuliers propres de la période ne sont pas présents, mais leur absence n'est pas diagnostique. Cependant, le petit corpus de Taraschina vient apporter son petit écot à la connaissance des communautés chalcolithiques.

Typologie	Us	Ensemble	Fig. mobilier	Nbre mobilier
perles discoïdales	2045	6	fig. 1 n <sup>os</sup> 1-4, 6	5
perle sphérique aplatie	2045	6	fig. 1 n <sup>o</sup> 9	1
perle discoïdale	2014	2	fig. 1 n <sup>o</sup> 5	1
perles discoïdales	2005	2	non figurée	2
perle discoïdale	2050	4	fig. 1 n <sup>os</sup> 7	1
perle tubulaire	2050	4	fig. 1 n <sup>o</sup> 12	1
perle discoïdale	2009	1	fig. 1 n <sup>o</sup> 8	1
perles discoïdales	2034	1	non figurée	2
perle sphérique aplatie	2034	1	non figurée	1
perle annulaire	2009	1	fig. 1 n <sup>o</sup> 11	1
perle tubulaire	Log 27		fig. 1 n <sup>o</sup> 13	1
perle annulaire	Log 29		fig. 1 n <sup>o</sup> 10	1
coquilles perforées	2037	2	fig. 2 n <sup>os</sup> 1-3	3
dentale	2005	2	fig. 2 n <sup>o</sup> 4	1
statuette anthropomorphe	2012	2	fig. 3	1
<b>TOTAL</b>				<b>23</b>

Tabl. 2

Taraschina, Zone 2 : origines stratigraphiques des parures et petits objets particuliers.

**Figure 3**

Taraschina, Zone 2 : statuette anthropomorphe sur phalange de suidé (Us 2012).

## Références bibliographiques

**Beldiman, Lazăr, Sztancs 2008 :** BELDIMAN (C.), LAZĂR (C.), SZTANCS (D.-M.) – Necropola eneolitică de la Sultana-Malu-Roșu, com. Mânăstirea, jud. Călărași. Piese de podoabă din inventarul M1, *Buletinul Muzeului Teohari Antonescu*, vol. 11, anul XIV, p. 59-72.

**Bonnardin 2009 :** BONNARDIN (S.) – *La parure funéraire des premières sociétés agro-pastorales des Bassins parisiens et rhénans : Rubané, Hinkelstein et Villeneuve-Saint-Germain*, Mémoire de la Société Préhistorique Française, Paris, mémoire XLIX, 2 vol.

**Carozza et al. 2011 :** CAROZZA (L.), MICU (C.), BURENS (A.), AILINCAI (S.), MIHAIL (F.), MIHAIL (C.) – Reconnaissance stratigraphique et planimétrique de l'habitat chalcolithique de Taraschina : premiers résultats. La statuette du silo 1134 dans son contexte chronologique, in L. Carozza, C. Bem, C. Micu (eds.) 2011, *Sociétés et environnements dans la zone du Bas Danube durant le 5<sup>e</sup> millénaire avant notre ère*, Iași, Editura Universității

"Alexandru Ioan Cuza", p. 303-306, fig. 32-33.

**Carozza et al. 2017 :** CAROZZA (L.), MICU (C.), MIHAIL (F.), BURENS (A.) – Archéologie de la zone 3 – Fouilles d'un bâtiment incendié. In L. Carozza, C. Micu (responsables), *Archéologie du delta du Danube, Rapport de mission archéologique, sous-commission Europe-Maghreb, rapport quadriennal 2014-17, Société et environnement durant le Néolithique et les âges des Métaux dans le delta du Danube (Roumanie)*, p. 485-556.

**Comșa 1985 :** COMȘA (E.) – Figurines d'os prismatiques d'époque néolithique en Roumanie, *Pontica* XVII, p. 15-23.

**Grębska-Kulow et al. 2021 :** GRĘBSKA-KULOW (M.), GUROVA (M.), ZIDAROV (P.) – Anthropomorphic figurines and miniature beads from the Early Neolithic settlement of Ilindentsi, southwest Bulgaria, *Bulgarian e-Journal of Archaeology*, vol. 11.1, p. 1-31.

**Mărgărit, Toderaș 2019 :** MĂRGĂRIT (M.), TODERAȘ (M.) – Industria materiilor dure animale din tell-ul gumelnițean de la Pietrele. Reevaluarea vechilor colecții arheologice. *Materiale și cercetări arheologice*, 15, p. 61-80.

**Micheli, Ferrari, Mazzieri 2015 :** MICHELI (R.), FERRARI (P.), MAZZIERI (P.) – *Processi di lavorazione, impiego e diffusione degli ornamenti personali in steatite nel VBQ dell'Emilia*. Padusa, Rovigo, 2014, vol. L, p. 9-32.

**Parnic, Lazăr 2005 :** PARNIC (V.), LAZĂR (C.) – Considerații preliminare asupra plasticii antropomorfe de lut din nivelul Gumelnița B1 de la Mariuță-La Movilă, *Cultură și Civilizație la Dunărea de Jos XXII*, p. 351-370.

**Zidarov 2005 :** ZIDAROV (P.) – Bone artefacts, in I. Merkyte (ed.), *Liga. Copper Age Strategies in Bulgaria*, *Acta Archaeologica* 76(1), Supplementa VI, Centre of World Archaeology, Publications 2, Blackwell Munksgaard, København, p. 124-131.

## INVENTAIRE DESCRIPTIF DES PARURES ET DES PETITS OBJETS PARTICULIERS DE LA ZONE 2 DE TARASCHINA

### 1. Perle discoïdale (fig. 1, n° 1)

Taraschina-2013/J54/Us2045

Matière première : terre cuite.

État de surface : bon ; diamètre : 2,8 mm ; épaisseur : 1,6 mm (entier) ; perforation : 1,2 mm.

### 2. Perle discoïdale (fig. 1, n° 2)

Taraschina-2013/K53/Us2045

Matière première : terre cuite.

État de surface : bon ; diamètre : 2,9 mm ; épaisseur : 1,2 mm (entier) ; Perforation : 1,2 mm.

### 3. Perle discoïdale (fig. 1, n° 3)

Taraschina-2013/Us2045

Matière première : terre cuite.

État de surface : bon ; diamètre : 3,2 mm ; épaisseur : 1,6 mm (entier) ; perforation : 1,2 mm.

### 4. Perle discoïdale (fig. 1, n° 4)

Taraschina-2013/Us2045

Matière première : terre cuite.

État de surface : bon ; diamètre : 3,1 mm ; épaisseur : 1,2 mm (entier) ; perforation : 1,2 mm.

### 5. Perle discoïdale (non figurée)

Taraschina-2012/Us2005/K55

Matière première : terre cuite.

État de surface : bon ; diamètre : 3,2 mm ; épaisseur : 1,4 mm (entier) ; perforation : 1,3 mm (brisée en deux mais entière).

### 6. Perle discoïdale (non figurée)

Taraschina-2012/Us2005/K55

Matière première : terre cuite.

État de surface : bon ; diamètre : 3 mm ; épaisseur : 1,5 mm ; perforation : ? (très fragmentaire).

### 7. Perle discoïdale (fig. 1, n° 5)

Taraschina-2014/Us2014/Fs2015/ K54a

Matière : terre cuite.

Support technologique : cylindre (?).

État de surface : bon ; diamètre : 3,9 mm ; épaisseur max. : 2 mm ; perforation : 1,3 mm env. (concrétions à retirer) (entier).

Petite perle discoïdale en terre cuite, parfaitement circulaire avec une perforation centrale irrégulière partiellement concrétionnée. Une face est plane, l'autre est irrégulière et semble n'avoir pas été régularisée.

### 8. Perle discoïdale (fig. 1, n° 6)

Taraschina-2013/Us2045

Matière première : terre cuite.

État de surface : bon ; diamètre : 2,2 mm ; épaisseur : 1,2 mm (entier) ; perforation : 1,2 mm.

### 9. Perle discoïdale (fig. 1, n° 7)

Taraschina-2014/Us2050/Fs2054

Matière : terre cuite.

Support technologique : cylindre (?).

État de surface : bon ; diamètre : 4,1 mm ; épaisseur max. : impossible à déterminer ; perforation : 1,5 mm env. (concrétions à retirer) (entier).

Petite perle discoïdale en terre cuite de couleur grise, parfaitement circulaire avec perforation centrale cylindrique concrétionnée. Section quadrangulaire et faces planes. Les surfaces semblent légèrement usées.

### 10. Perle discoïdale (fig. 1, n° 8)

Taraschina-2014/Us2009/Fs2010

Matière : terre cuite.

Support technologique : cylindre (?).

État de surface : bon ; diamètre : 4 mm ; épaisseur max. : 1,9 mm ; perforation : 2 mm (entier).

Petite perle discoïdale en terre cuite de couleur grise, parfaitement circulaire avec grande perforation centrale cylindrique. Section quadrangulaire et faces planes.

### 11. Perle discoïdale (non figuré)

Taraschina-2014/Us2034

Matière : terre cuite

Petite perle discoïdale en terre cuite.

### 12. Perle discoïdale (non figurée)

Taraschina-2014/Us 2034base\Fs 2010

Matière : terre cuite

Petite perle discoïdale en terre cuite.

### 13. Perle sphérique aplatie (fig. 1, n° 9)

Taraschina-2013/Us2045

Matière première : terre cuite.

État de surface : bon ; diamètre : 5 mm ; épaisseur max. : 1 mm ; perforation : 1,7 mm (entier)

### 14. Perle sphérique aplatie (non figurée)

Taraschina-2012/Us2034

Matière première : terre cuite.

État de surface : bon ; diamètre : 5,2 mm ; épaisseur : 2,1 mm ; perforation : 1,2 mm (fragmentaire).

### 15. Perle annulaire (fig. 1, n° 10)

Taraschina-2015/LOG 29/-235.1-246 cm

Matière : serpentinite.

Support technologique : plaquette (?).

État de surface : bon ; diamètre : 4,2 mm ; épaisseur max. : 0,7 mm ; perforation : 2 mm (fragmentaire).

Fragment de fine perle discoïdale en serpentinite, parfaitement circulaire avec large perforation centrale cylindrique. Section quadrangulaire très aplatie et faces planes.

### 16. Perle annulaire plate (fig. 1, n° 11)

Taraschina-2012/Us2009-11/Fs2010

Matière première : MDA (très probablement bois de cerf).

État de surface : bon / diamètre : 4,5 mm ; épaisseur max. : 4,4 mm ; perforation : 2,2 mm (entier).

Petite perle annulaire plate, parfaitement circulaire à large perforation centrale dont la finition a été parachevée par une fine abrasion.

### 17. Perle tubulaire (fig. 1, n° 12)

Taraschina-2014/Us2050/Fs2054

Matière : terre cuite.

Support technologique : cylindre (?).

État de surface : bon ; L. : 7,2 mm ; diamètre max. : 2 mm ; perforation : 0,6 mm (entier).

Petite perle tubulaire en roche grise, dotée d'une petite perforation centrale cylindrique. Les parois sont légèrement irrégulières.

### 18. Perle tubulaire (fig. 1, n° 13)

Taraschina-2015/LOG 27/-115-128 cm

Matière : terre cuite.

Support technologique : cylindre (?).

État de surface : bon ; L= 4,6 mm ; diamètre max.: 3,1 mm env. ; perforation : 1,3 mm ? (concrétions) (fragmentaire).

Fragment de petite perle tubulaire en roche grise, dotée d'une petite perforation centrale cylindrique. Brisée dans son milieu.

### 19. Coquille de *cardium* perforée (fig. 2, n° 1)

Taraschina-2013/Fs2015/Us2037 [TAR'9486]

Support anatomique : coquille de bivalve (*Cardium sp.*).

Support technologique : support d'anatomie.

Mode débitage : sans.

État de surface : bon ; L. x H. = 17,8 x 16,7 mm (entier).

Petite coquille de *cardium* dont l'umbo a d'abord été abrasé avant d'être perforé.

### 20. Coquille de *cardium* perforée (fig. 2, n° 2)

Taraschina-2013/Fs2015/Us2037 [TAR'9487]

Support anatomique : coquille de bivalve (*Cardium sp.*).

Support technologique : support d'anatomie.

Mode débitage : sans.

État de surface : bon ; L. x H. = 17,6 x 15,9 mm (entier).

Petite coquille de *cardium* dont l'umbo a d'abord été abrasé avant d'être perforé.

### 21. Coquille de *monodacna* perforée (fig. 2, n° 3)

Taraschina-2013/Fs2015/Us2037 [TAR'9487]

Support anatomique : coquille de bivalve (*Monodacna colorata*).

Support technologique : support d'anatomie.

Mode débitage : sans.

État de surface : bon ; L. x H. = 29,8 x 24 mm (entier).

Coquille de *monodacna* dont l'umbo a d'abord été abrasé avant d'être perforé.

### 22. Dentale (fig. 2, n° 4)

Taraschina-2015/Zone 2/Us2005/N51 [TAR'9524]

Support anatomique : coquille de *dentalium* fossile.

Support technologique : anatomique, tube.

Mode débitage : tronçonnage.

État de surface : moyen ; L. = 29 mm (entier).

Petit tronçon de *dentalium* fossile à manteau lisse sectionné à ses deux extrémités. On n'observe pas de déformation des bords d'entrée de la cavité palléale et les lèvres sont lisses.

### 23. Statuette anthropomorphe (fig. 3)

Taraschina-2012/L54D/Us2012

Matière première : os, phalange de suidé entière.

État de surface : bon ; L. tot. : 62 mm (entier).

Petite statuette anthropomorphe élaborée à partir d'une phalange de suidé conservée entière dont le proximum a été retouché de façon à créer l'idée d'un visage.